

## 雷管のエネルギー効率

笠松 勇\*, 古川 浩\*

満水の密閉容器の中で6号瞬発電気雷管を爆発させ、距離を隔てて雷管と対向する位置に設けた周辺固定の円形黄銅素板を自由成形させた。素板のたわみから、変形のひずみエネルギーを計算することによって、雷管の爆発熱がどれくらいの割合いでひずみエネルギーに変換されるかを求めてみた。

その結果、雷管と素板との距離が至近のときのひずみエネルギーは0.79kJ、雷管の爆発熱を3.0kJとした場合のエネルギー効率は26%であった。また、距離が1200mmのときのひずみエネルギーは0.16kJ、エネルギー効率は5.5%であった、即ち、小規模な爆発成形では、雷管の爆発熱の5~20%が素板の変形に消費されるようである。

また、ひずみエネルギー $U$ とエネルギー効率 $\eta$ とは、それぞれ距離 $h$ に関して指数関数的に変化し、

$$U = 0.789 \exp(-1.31 \times 10^{-3} h), \quad \eta = 0.263 \exp(-1.31 \times 10^{-3} h)$$

の関係があることが分かった。

この計算方法は、ブラストメータの解析にも有用であろう。

## 1. はじめに

雷管だけを爆源に使用する爆発成形法では、薬量を変更することができないので、爆源と素板との距離を変えることによって、素板の変形量を制御している。この方法では、雷管の爆発熱が素板にどれくらい入射するかを予測しておくことは、変形量を推定するうえで重要なことである。

入射エネルギーを予測するための計算式には、エネルギーが薬量の1/3乗に比例し、距離のほぼ二乗に反比例するとしたKirkwood-Betheの式があり、これに基づいたR. H. Cole<sup>1)</sup>やA. A. Ezra<sup>2)</sup>などの式が紹介されている。しかし、1/3乗則は雷管のように薬量が微小な場合や、距離が近い場合には適用しにくい。

そのため、素板に入射するエネルギーを素板のたわみのひずみエネルギーから計算し、雷管の爆発熱がどれくらいひずみエネルギーに変換されるか求めることによって、エネルギー効率を求めてみた。

## 2. ひずみエネルギー

## 2.1 計算上の仮定

計算を進めるにあたって、次の仮定をおく。

- (1) 素板は非圧縮性であって、変形の前後に体積は変わらない。
- (2) 素板は指数硬化形剛塑性体材料である。
- (3) 降伏条件式としてLévy-Misesの式が適用できる。
- (4) 変形後の素板の厚さは、半径方向に一様に分布するか、または半径方向の平均厚さで代表できる。
- (5) ドーム部分は欠球形である。
- (6) ダイスの肩、及びフランジ部分に作用する摩擦力や曲げモーメントは考慮しない。

## 2.2 ドーム部分のひずみエネルギー

ひずみエネルギーを、ドーム部分、ダイス肩の部分、フランジ部分の三部分に分けて計算し、その合計をもって素板に入射するエネルギーとする。

素板の材料は、指数硬化形剛塑性体であると仮定したから、その相当応力 $\bar{\sigma}$ と相当ひずみ $\bar{\epsilon}$ との関係は、変形中の加工硬化を考慮して、次のようにおく。

$$\bar{\sigma} = F \bar{\epsilon}^n \quad (1)$$

ここに、 $F$ は塑性係数、 $n$ はひずみ硬化指数であって、いずれも素板の引張り試験から求められる。

したがって、ドーム部分のひずみエネルギー $U_D$ は、ドーム部分の相当ひずみを $\bar{\epsilon}_D$ 、要素の体積を $dV_D$ として、式(1)を使えば式(2)になる。

$$U_D = \iiint \bar{\sigma} d\epsilon_D dV_D = \frac{F}{n+1} \bar{\epsilon}_D^{n+1} \int dV_D \quad (2)$$

1992年12月2日受理

\*中央大学理工学部

〒112 東京都文京区春日1-13-21

TEL 03-3817-1733

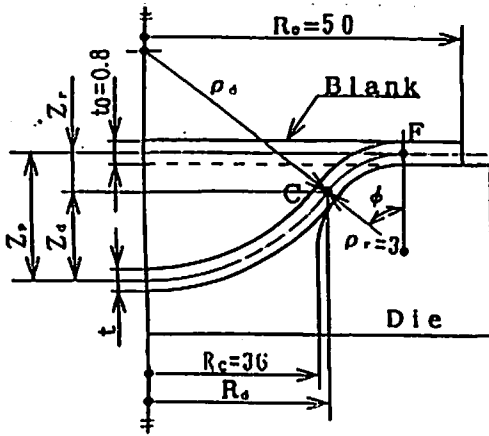


Fig. 1 Explanation of notation

- $R_0$  : Radius of blank.
- $R_c$  : Radius of die cavity.
- $R_d$  : Radius of base on dome.
- $\rho_d$  : Spherical radius on dome.
- $\rho_r$  : Radius of die shoulder of torus.
- $\phi$  : Contact angle on die shoulder.
- $Z_p$  : Polar deflection on dome.
- $Z_r$  : Deflection on die shoulder.
- $Z_d$  : Deflection on dome.
- $t_0$  : Thickness of initial blank.
- $t$  : Thickness of deformed blank.

即ち、相当ひずみと体積が分かれば、ひずみエネルギーが求められる。

ドームの部分の相当ひずみは、次のようになる。素板の材料は非圧縮性であるという仮定から

$$\epsilon_r + \epsilon_\theta + \epsilon_t = 0, \quad \epsilon_r = \epsilon_\theta, \quad \therefore \epsilon_r = \epsilon_\theta = -\frac{1}{2} \epsilon_t \quad (3)$$

を得る。ここに、 $\epsilon_r$ ,  $\epsilon_\theta$ ,  $\epsilon_t$ はそれぞれ半径方向、円周方向、厚さ方向の対数ひずみである。

したがって、相当ひずみはLévy-Misesの降伏条件式から式(4)になる。

$$\epsilon_D = \sqrt{\frac{2}{3}} \sqrt{(\epsilon_r - \epsilon_\theta)^2 + (\epsilon_\theta - \epsilon_t)^2 + (\epsilon_r - \epsilon_t)^2} = \epsilon_t \quad (4)$$

一方、材料の体積は変形前後で変わらないと仮定したから、素板が図1のように欠球状に変形した場合、式(5)が成立する。

$$\pi R_d^2 t_0 = \pi (R_d^2 + Z_d^2) t \quad (5)$$

ここに、 $R_d$ はドーム底部の半径、 $Z_d$ はフランジからドーム頂点までの高さ、 $t_0$ ,  $t$ は変形前後の素板の厚さである。また、 $R_d$ ,  $Z_d$ は式(6)で表される。

$$R_d = R_c + \rho_r (1 - \sin \phi), \quad Z_d = R_d \frac{1 - \cos \phi}{\sin \phi} \quad (6)$$

ここに、 $R_c$ はダイキャビティの半径、 $\rho_r$ はダイス肩の丸み、 $\phi$ は素板とダイス肩の接触角である。

式(5)から、素板の厚さの対数ひずみ $\epsilon_t$ は、

$$\epsilon_t = -\ln \frac{t_0}{t} = -\ln \left( 1 + \frac{Z_d^2}{R_d^2} \right) \quad (7)$$

になる。したがって、式(4)からドーム部分の相当ひずみが求められる。

よって、ドーム部分の変形に要するひずみエネルギー $U_D$ は、式(8)で表される。

$$U_D = \pi \frac{F}{n+1} (R_d^2 + Z_d^2) t \ln \left( 1 + \frac{Z_d^2}{R_d^2} \right) \quad (8)$$

### 2.3 ダイス肩の部分のひずみエネルギー

ダイス肩の部分の相当ひずみ $\epsilon_{r1}$ は、変形後の素板の厚さひずみ $\epsilon_t$ が、半径方向に一様に分布するものと仮定したから、ドーム部分の相当ひずみに等しくなる。したがって式(7)から求められる。

また体積は、図1に示すように、接触角 $\phi$ が含む円弧の長さがCFで、幅が $t$ の帯を対称軸のまわりに回転したときの体積になる。したがって、式(2)から、ダイス肩の部分のひずみエネルギーが求められる。

### 2.4 フランジ部分のひずみエネルギー

図2にフランジ部分の要素を示す。

ダイスとしわ押さえによって挟まれている素板のフランジ部分は、素板がダイキャビティの中に張り出すことによって収縮する。このときのひずみは、ドーム部分に比較して小さいから、微小平面ひずみと考える。また、仮定により素板としわ押さえ、及び素板とダイスとの間の摩擦力、並びに曲げモーメントは考慮しなくてもよい。

したがって、図2のように半径 $r$ にある要素が $S$ だけ収縮して $R$ の位置に変位すれば、半径方向、円周方向、及び厚さ方向のひずみ $\epsilon_r$ ,  $\epsilon_\theta$ , 及び $\epsilon_t$ は、それぞれ式(9)で表される。

$$\epsilon_r = \frac{ds}{dR} \cong \frac{ds}{dr}, \quad \epsilon_\theta = \frac{S}{R} \cong \frac{S}{r}, \quad \epsilon_t = 0 \quad (9)$$

ここに、 $S$ はフランジの中心に向かう半径方向の変位であって、外向きを正とする。

フランジ部分は非圧縮性であると仮定したから、式(10)が得られる。

$$\epsilon_r + \epsilon_\theta + \epsilon_t = \frac{ds}{dr} + \frac{S}{r} = 0 \quad (10)$$

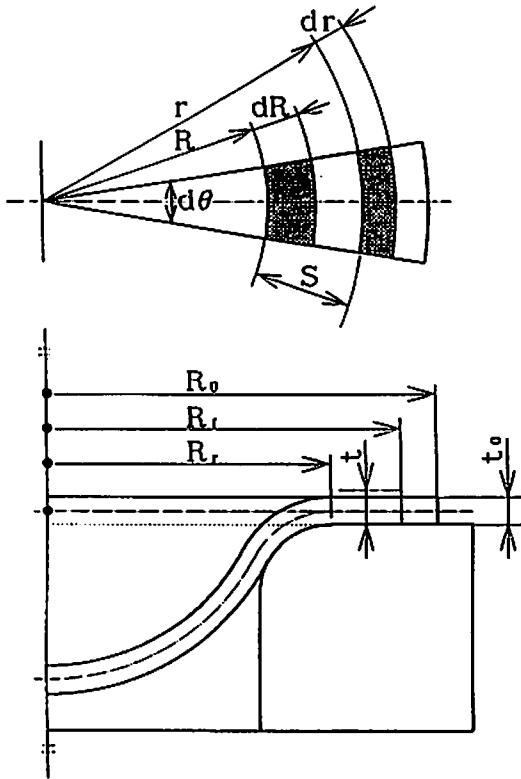


Fig. 2 Strain of flange due to edge pull-in for die cavity.

式(10)を解くと、 $C$ を積分定数として、

$$\log S = -\log r + \log C, \therefore S = -\frac{C}{r} \quad (11)$$

したがって、式(10)が得られる。

$$\epsilon_r = -\epsilon_\theta = \frac{C}{r^2} \quad (12)$$

積分定数 $C$ を決定するために、任意の半径 $r=R_0$ で $S=S_0$ 、 $r=R_f$ で $S=S_f$ とする。 $R_0$ 、 $R_f$ は変形前後のフランジの外半径である。

境界条件は、 $S_0 = -(R_0 - R_f)$ であるから、積分定数 $C$ は式(12)になる。

$$C = -S_0 R_0 = R_0(R_0 - R_f) \quad (13)$$

フランジ収縮率を $\zeta = 1 - (R_f/R_0)$ で定義すれば

$$C = \zeta R_0^2 \quad (14)$$

よって、 $S_f$ は式(11)から得られて式(13)になる。

$$S_f = -\zeta \frac{R_0^2}{R_f} = -\frac{\zeta}{1-\zeta} R_0 \quad (15)$$

以上から、フランジ部分のひずみ $\epsilon_r$ 、 $\epsilon_\theta$ 、 $\epsilon_f$ は式(10)で表される。

$$\epsilon_r = \zeta \frac{R_0^2}{R_f^2} = \frac{\zeta}{(1-\zeta)^2}, \quad \epsilon_\theta = -\epsilon_r, \quad \epsilon_f = 0 \quad (16)$$

よって、フランジ部分の相当ひずみ $\bar{\epsilon}_F$ は、降伏条件式を使って式(17)から求められる。

$$\begin{aligned} \bar{\epsilon}_F &= -\frac{\sqrt{2}}{3} \\ &= \frac{\sqrt{(\epsilon_r - \epsilon_\theta)^2 + (\epsilon_\theta - \epsilon_f)^2 + (\epsilon_f - \epsilon_r)^2}}{3} \\ &= -\frac{2}{\sqrt{3}} \frac{\zeta}{(1-\zeta)^2} \quad (17) \end{aligned}$$

したがって、フランジ部分のひずみエネルギー $U_F$ は、 $V_F$ をフランジ部分の体積、 $R_f = R_c + \rho$ をフランジの内半径として、式(18)で表される。

$$\begin{aligned} U_F &= \iiint \bar{\sigma} d\epsilon_F dV_F \\ &= \pi t_0 \frac{F}{n+1} \left\{ \frac{2}{\sqrt{3}} \frac{\zeta}{(1-\zeta)^2} \right\}^{n+1} \\ & \quad (R_0^2 - R_f^2) \quad (18) \end{aligned}$$

### 3. 実験

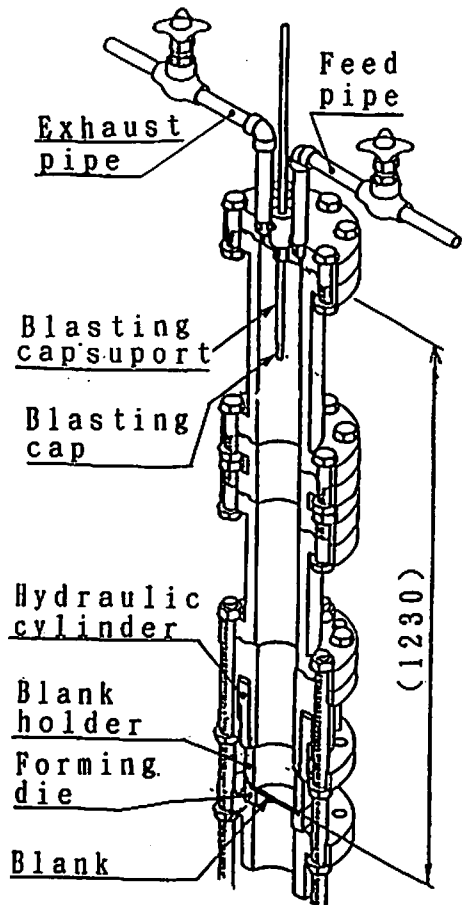


Fig. 3 Schematic illustration of explosive forming.

### 3.1 材料定数

素板材料の塑性係数  $F$ 、及びひずみ硬化指数  $n$  を決定するために、引張り試験を行った。

素板の材料は C2801P- $\frac{1}{2}$ H の黄銅円板で、寸法は直径が  $2R_0=100\text{mm}$ 、厚さが  $t_0=0.8\text{mm}$  である。引張り試験は素板から採取した幅  $20\text{mm}$ 、長さ  $50\text{mm}$  の長方形である。

引張り試験の結果、 $F=805\text{MP}$ 、 $n=0.40$  を得た。

### 3.2 成形ダイス

図 1 に示すように、キャビティ内径  $2R_C=72\text{mm}$ 、肩の丸み  $\rho_r=3\text{mm}$  の環状自由成形ダイスである。

### 3.3 成形装置

図 3 に示す。滴水の密閉円筒容器の下部に、しわ押さえと成形ダイスとで周縁が挟まれた素板がある。しわ押さえは油圧シリンダでしわ押さえ力が増えられて、素板周縁に発生するしわを抑制し、あわせて漏水を防いでいる。

素板と距離を隔てて、上方に電気雷管が対向して設置されている。素板との距離は、雷管支持棒を上下することによって自在に変更できるので、これによって素板の変形量を制御している。

## 4. 入射エネルギー・エネルギー効率

### 4.1 素板のひずみエネルギー

ドーム部分のひずみエネルギー  $U_D$  は、式(8)から求め

られ、ダイス肩の部分のひずみエネルギー  $U_R$  も  $U_D$  と同様求められる。また、フランジ部分のひずみエネルギー  $U_F$  は式(10)から得られるから、結局、素板に入射するエネルギー  $U$  は、 $U=U_D+U_R+U_F$  である。

この  $U$  と、フランジからドーム頂点までのたわみ  $Z_p$  との関係を表すと図 4 のようになる。

接触角が  $90^\circ$  のとき、たわみ  $Z_p$  は最大になり、その値は、キャビティ半径  $R_C$ 、ダイ肩の丸み  $\rho_r$ 、及び素板の変形前後の厚さ  $t_0$ 、 $t$  で決まり、

$$Z_p = R_C + \rho_r + \frac{t_0 + t}{2} \quad (19)$$

で表され、このたわみが加工限界になる。この装置の寸法のときの加工限界は、式(19)から計算されて、 $39.2\text{mm}$  になる。したがって図 4 から、加工限界のときの入射エネルギーは、 $1.2\text{kJ}$  になる。

### 4.2 雷管の爆発熱

エネルギー効率を、雷管の爆発熱に対する素板のひずみエネルギーで表すことにしたので、雷管の爆発熱を知らなければならない。

表 1 は、筆者ら<sup>3)</sup>、及び他の研究者<sup>4), 5)</sup>が計算し、又は熱量計で実測した爆発熱の値を示したものである。表中、村門らの試料は電気雷管であり、この研究に使用している 6 号瞬発電気雷管に薬量が近似し、かつ、3 本の値が示されているので、この値を参考にして、雷管の爆発熱を  $3.0\text{kJ}$  とする。

Table 1 Comparison of explosion heat of authors and other researchers.

Item		Researcher	authors	R. MURAKADO et al	T. KUDOH et al.	
Shell			copper	steel	copper	copper
Fuse head	kind		Pb(SCN) <sub>2</sub> /KClO <sub>4</sub>	DDNP	—	—
	weight (mg)		4/4	4	—	—
Initiator	kind		DDNP	DDNP	DDNP	DDNP
	weight (g)		0.17	0.20	0.20	0.20
	density (g·cm <sup>-3</sup> )		1.00	0.85	—	—
Base charge	kind*		Tetryl	pento/KClO <sub>4</sub> 100/10	tet/KClO <sub>4</sub> 93/7	pento/KClO <sub>4</sub> 100/10
	weight (g)		0.41	0.40	0.40	0.40
	density (g·cm <sup>-3</sup> )		1.40	1.44	—	—
Total weight (g)			0.58	0.60	0.60	0.60
Explosion heat	calcd. (kJ·g <sup>-1</sup> )		2.67	2.97	2.51	2.49
	obsvd. (kJ·g <sup>-1</sup> )		—	2.95. 3.10. 3.20	3.41	3.20

\*pento : pentolite (PETN50/TNT50). tet : tetryl.

### 4.3 エネルギー効率

図4に、たわみとエネルギー効率の関係を示す。図から、加工限界のときのたわみ、即ち $Z_p = 39.2\text{mm}$ のときのエネルギー効率は40%になる。

### 4.4 距離とたわみの関係の実験値

実務上、素板から雷管までの距離と、ひずみエネルギー、若しくはエネルギー効率との関係が明らかであると非常に都合がよい。しかし、これらの関係を直接、計算や実験から求めることは困難である。

そこで、距離とたわみの関係を実験から求めておき、この関係と、図4のたわみとひずみエネルギー、若しくはたわみとエネルギー効率の関係とから、たわみを消去すれば、距離とひずみエネルギー、若しくは距離とエネルギー効率との関係が得られる。

図5は、距離を変えたときの素板のたわみを測定した実験結果である。距離 $h$ の増大とともにたわみ $Z_p$ は減少し、

$$Z_p = 33.1 \exp(-0.581 \times 10^{-3} h) \quad (20)$$

になる。したがって、至近距離でもたわみは $33.1\text{mm}$ にしかならないから、加工限界のたわみ $39.2\text{mm}$ には達しないことになる。

### 4.5 距離とエネルギー、エネルギー効率の関係

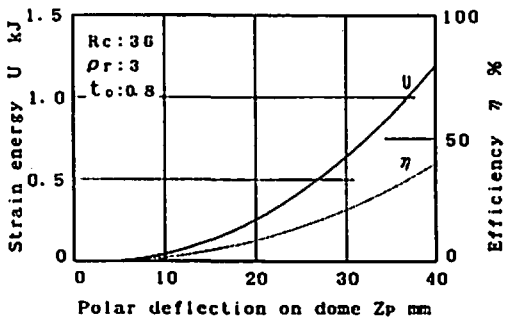


Fig. 4 Effect of polar deflection on strain energy and energy efficiency.

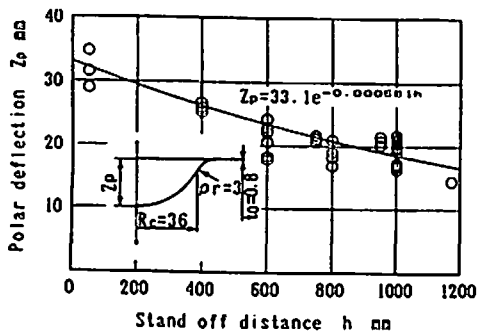


Fig. 5 Relationship of stand off distance versus polar deflection.

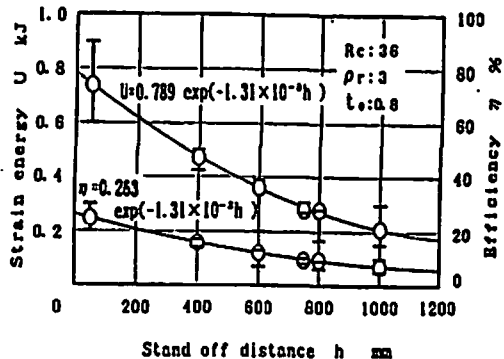


Fig. 6 Relationship of stand off distance versus strain energy and efficiency.

計算から、たわみとエネルギー、並びにたわみとエネルギー効率の関係が、図4のように得られた。一方、実験から、距離とたわみの関係が、図5のように得られたので、両者からたわみを消去すれば、距離 $h$ とひずみエネルギー $U$ 、並びに距離 $h$ とエネルギー効率 $\eta$ との関係が、式(20)及び図6のように得られる。

$$U = 0.789 \exp(-1.31 \times 10^{-3} h)$$

$$\eta = 0.263 \exp(-1.31 \times 10^{-3} h) \quad (21)$$

したがって、至近距離のときのひずみエネルギー、即ち素板への入射エネルギーは $0.789\text{kJ}$ 、エネルギー効率は $26.3\%$ であり、距離が装置の全内長にはほぼ等しい $1200\text{mm}$ のときの入射エネルギーは $0.163\text{kJ}$ 、エネルギー効率は $5.5\%$ である。また、至近距離であってもエネルギー効率は、加工限界のエネルギー効率 $40\%$ を下まわるから、たわみは加工限界に達しないことになる。

### 5. むすび

6号瞬発電気雷管1本を、満水の密閉円筒内で爆発させて、キャビティ半径 $R_c = 36\text{mm}$ 、肩の丸み $\rho_r = 3\text{mm}$ のダイスで、直径 $100\text{mm}$ 、厚さ $0.8\text{mm}$ の黄銅板を自由成形したとき、次の結果が得られた。

(1) 加工限界が見出された。その限界値は、接触角が $90^\circ$ 、フランジからドーム頂点までのたわみ $Z_p$ が、ダイス寸法と変形前後の素板の厚さ $t_0$ 、 $t$ で決まり、

$$Z_p = R_c + \rho_r + \frac{t_0 - t}{2} = 39.2\text{mm}$$

になる。また、このときのドーム部分は、半径が $R_c$ に等しい半球になる。

(2) 雷管の爆発熱を $3.0\text{kJ}$ とすると、加工限界で素板への入射エネルギーは $1.2\text{kJ}$ 、エネルギー効率は $40\%$ になる。

(3) 素板と雷管との距離が、至近のときの入射エネルギーは $0.789\text{kJ}$ 、エネルギー効率は $26.3\%$ であり、

1200mm離れたときの入射エネルギーは0.16kJ, エネルギー効率は5.5%に減少する。また, 入射エネルギー $U$ , 並びにエネルギー効率 $\eta$ は, 距離 $h$ に関して次式で結ばれることが分かった。

$$U=0.789 \exp(-1.31 \times 10^{-3} h)$$

$$\eta=0.263 \exp(-1.31 \times 10^{-3} h)$$

- (4) 至近距離であっても, エネルギー効率は26.3%であり, 加工限界のときのエネルギー効率40%には及ばない。したがって, 加工限界に達することはない。
  - (5) 素板から雷管までの距離と, 素板への入射エネルギーの関係は, Kirkwood-Betheの式が当てはまらない。その理由は, 本実験で扱う薬量が微小なこと, 及び距離が近いことに起因するものと思われる。
  - (6) この計算方法は, プラストメータの解析に有用であると考えられる。
- 末尾ながら, この実験に携った中央大学理工学研究

科大学院生の関野武志, 松崎広和, 衣笠邦彦, 山元幸弘らの諸君に厚く感謝の意を表する。

#### 文 献

- 1) R. H. Cole, "Underwater Explosions", 239, 282 (1948) Princeton Univ. Press.
- 2) A. A. Ezra, "Principles and Practice of Explosive Metalworking", 38 (1973) Industrial Newspapers Limited.
- 3) 笠松 勇, 古川 浩, 「爆発成形のための爆ごう値の簡易計算法-KHT状態方程式の統計化による方法-」, 中央大学理工学部紀要, 34, 89(1991)。
- 4) 村門 律, 木内文一, 横山勝太郎, 「雷管の爆発温度に関する研究」, 工業火薬, 37-5, 243 (1976)。
- 5) 工藤隆義, 空地公二, 吉田勲夫, 「雷管威力に関する研究(第1報)-雷管の爆発熱量について-」, 工業火薬協会春季年会講演要旨集, (1967)。

---

## On the energy efficiency of blasting cap

by Isamu KASAMATSU\*, Hiroshi FURUKAWA\*

In the explosive forming method using only a blasting cap as the explosion source, by changing the distance between the blasting cap and a blank, the amount of deformation of the blank is controlled. Therefore, it is important for controlling the amount of deformation to forecast how much proportion of the explosion heat of a blasting cap is converted to the deformation energy.

In this report, the strain energy required for the deformation of a blank is calculated, and with its ratio to the explosion heat of a blasting cap, the energy efficiency of the blasting cap is to be determined.

In the case of using a die with the cavity radius of 36mm and the shoulder radius of 3mm, and carrying out the free forming of a brass sheet of 0.8mm thickness, the following results were obtained. Namely when the distance between a blank and a blasting cap was close, and it was assumed that the strain energy of the blank is 0.79 kJ, and the explosion heat of the blasting cap is 3.0 kJ, the energy efficiency was 26%. When the distance was 1200mm, the strain energy was 0.16 kJ, the strain energy efficiency was 5.5%.

Moreover, the strain energy  $U$  and the energy efficiency  $\eta$  changed exponentially in relation to the distance  $h$ , respectively, and the relations

$$U=0.789 \exp(-1.31 \times 10^{-3} h), \eta=0.263 \exp(-1.31 \times 10^{-3} h)$$

were obtained.

(\*Faculty of Science and Engineering, Chuo University. 1-13-27  
Kasuga, Bunkyo-ku, Japan 〒112)